

مطالعه‌ی ضریب بدهی سرریز - دریچه‌ی استوانه‌ای و تعیین رابطه‌ی آن با ضریب بدهی

دریچه‌ی و سرریز جداگانه

محسن مسعودیان¹, ربابه فندرسکی², محمد قره‌گزلو^{3*}

تاریخ دریافت: 1391/4/19 تاریخ پذیرش: 1391/11/4

چکیده

سرریز و دریچه‌ی از پرکاربردترین سازه‌های اندازه‌گیری جریان و واپايش سطح آب در شبکه‌های انتقال آب به شمار می‌روند، که با ترکیب آنها به عنوان یک سازه، با توجه به عبور مواد شناور از روی سرریز و مواد قابل رسوب از زیر دریچه‌ی، مشکلات استفاده جداگانه هریک از سازه‌ها کاهش می‌یابد. در این تحقیق به بررسی آزمایشگاهی تغییرات ضریب بدهی سرریز-دریچه‌ی استوانه‌ای با فراسنجه‌ای بی بعد H/D (نسبت عمق بالادست جریان به قطر سازه) و H/a (نسبت عمق بالادست جریان به بازشدگی دریچه‌ی) درنهایی با طول، عرض و ارتفاع به ترتیب 10, 0/6 و 0/7 متر پرداخته شده است. همچنین، روند تغییرات ضریب بدهی سرریز و دریچه‌ی با اندازه‌گیری نیمرخ سرعت در زیر و روی سازه استخراج، و با نتایج ضریب بدهی در شبیه ترکیبی سرریز-دریچه‌ی استوانه‌ای مقایسه شده است. نتایج حاصله نشان دادند که با افزایش فراسنجه‌ای بی بعد H/a و H/D ضریب بده سرریز-دریچه‌ی ابتدا کاهش یافته و سپس افزایش می‌یابد. روند ضریب بدهی دریچه‌ی در شبیه ترکیبی، کاهشی و برای سرریز ابتدا افزایشی و سپس به سمت ثابت شدن میل می‌نماید. همچنین، قطر سازه و بازشدگی دریچه‌ی برای ضریب بدهی هر سه سازه سرریز، دریچه‌ی و سرریز-دریچه‌ی در شبیه ترکیبی موثر می‌باشند، و ضریب بدهی سرریز-دریچه‌ی استوانه‌ای در محدوده‌ی آزمایشها از 0/05- 0/75 متغیر است. در نهایت با تحلیل داده‌ها معادله‌ای جهت تخمین ضریب بدهی سرریز-دریچه‌ی ارائه گردید که دارای همبستگی بالایی می‌باشد.

واژه‌های کلیدی: سرریز، دریچه‌ی، ضریب بدهی، استوانه‌ای، نیمرخ سرعت

¹- استادیار گروه مهندسی آب دانشگاه علوم کشاورزی و منابع طبیعی ساری

²- دانشجوی کارشناسی ارشد سازه‌های آبی دانشگاه علوم کشاورزی و منابع طبیعی ساری

³- دانشجوی دکتری سازه‌های آبی دانشگاه علوم کشاورزی و منابع طبیعی ساری

*- نویسنده مسئول: Gharagezlu_mohammad@yahoo.com

مقدمه

جريان با فراسنجهای a) بازشدگی دریچه‌ی و H عمق آب بالادست) Hw (Hw/b عرض سرریز و دریچه‌ی) رابطه‌ی مستقیم دارد. اسماعیلی و فتحی مقدم (1385) ضریب بدھی شبیه ترکیبی سرریز-دریچه‌ی واقع در انتهای لوله‌ی فاضلاب را بررسی نموده و نشان دادند که ضریب بدھ به فراسنج بی بعد (H/d) نسبت عمق آب بالادست به قطر لوله‌ی وابسته است. فیض الله و همکاران (1385)، با تحقیق در مورد ضریب تخلیه‌ی جريان همزمان دریچه‌ی و سرریز جانبی در خم 180 درجه نشان دادند که بیشترین ضریب بدھ در موقعیت آبگیری 115 درجه مشاهده می‌شود، زیرا جريانهای ثانویه در این موقعیت بیشترین شدت را دارا می‌باشند. رضویان و حیدرپور (1386) خصوصیات جريان ترکیبی را از روی سرریز مستطیلی با فشردگی جانبی و زیر دریچه‌ی مستطیلی بدون فشردگی در حالت لبه تیز بررسی کرده و نتیجه گرفته‌ند که با افزایش بدھ و ارتفاع آب در بالادست سرریز، ضریب بدھ افزایش می‌یابد؛ ایشان همچنین معادله‌ای را برای ضریب بدھی جريان برای محدوده‌ی تغییرات مورد آزمایش ارائه دادند. صفار و کاشفی پور (1387) با شبیه‌سازی اثرات هیدرولیکی جريان و هندسه‌ی مجرأ بر اندازه‌ی شدت جريان در سامانه‌ی سرریز-دریچه نتیجه گرفته‌ند که مؤثرترین فراسنج در تعیین بدھی عوری از شبیه با استفاده از روش شبکه عصبی مصنوعی، نسبت عمق بالادست به بازشدگی دریچه‌ی (H/a) می‌باشد.

هاياوي و همکاران (2008) به مطالعه‌ی سازه ترکیبی سرریز مثلثی و دریچه‌ی مستطیلی پرداختند و نتیجه‌ی حاصل از مطالعات آنان نشان داد که با افزایش نسبت D/Hw (نسبت ارتفاع سرریز به بار آبی روی سرریز) ضریب بدھ کاهش می‌یابد. سامانی و مظاہری (2009) جريان ترکیبی بر روی سرریز - دریچه‌ی مستطیلی لبه تیز و بدون فشردگی جانبی را در دو حالت استغراق (سرریز آزاد و دریچه‌ی مستغرق و سرریز و دریچه‌ی مستغرق) شبیه‌سازی نمودند. در هر دو حالت مشاهده شد که عمق پایاب بر عمق بالادست جريان و در نتیجه بر بدھ جريان تاثیر می‌گذارد. مسعوديان و همکاران (1390) هیدروليک جريان سرریز - دریچه‌ی نیم استوانه‌ای را در حالت مستغرق مطالعه نموده و نشان دادند در يك H/D (نسبت عمق

توزيع و اندازه‌گیری دقیق آب به منظور کاهش تلفات در شبکه‌های آبیاری و زهکشی، همواره مورد توجه واقع بوده است. در این راستا، سرریز و دریچه، به علت داشتن روابط ساده و نسبتاً دقیق، نسبت به سازه‌های جایگزین کاربرد بیشتری دارند. وجود مواد معلق و شناور در آب، اغلب سبب تجمع در ورودی دریچه‌ی و بالادست سرریز می‌گردد، که این امر خود می‌تواند موجب کاهش دقت اندازه‌گیری بدھ، ایجاد تغییر در شکل مجرای جريان، به خطر افتادن پایداری سازه (به دلیل کاهش حجم مفید نهر) و سرریز شدن آب از دوسوی نهر شود. با ترکیب سرریز و دریچه‌ی به عنوان یک سازه‌ی متمرکز مواد شناور از روی سرریز و مواد قابل رسوب از زیر دریچه‌ی عبور می‌کنند که منجر به کاهش مشکلات استفاده جدآگانه هریک از سازه‌ها می‌شود. از جمله مطالعات انجام گرفته در مورد سرریز-دریچه‌ی می‌توان به تحقیقات نجم و همکاران (1994) اشاره نمود که اثر جريان و فراسنجهای هندسی را در مورد خصوصیات بدھ در حالت جريان آزاد از روی یک سرریز منقبض شده مستطیلی و زیر یک دریچه‌ی مثلثی معکوس V شکل با زاویه‌هایی در محدوده 45 - 110 درجه را مورد بررسی قرار داده و معادله‌ای را برای زاویه 90 درجه پیشنهاد نمودند. نجم و همکاران (1997) با مطالعه‌ی فراسنجهای آبی و هندسی مؤثر بر جريان عبوری همزمان از سرریز مثلثی و دریچه‌ی مستطیلی فشرده ثابت کردند استفاده از ضریب شدت جريان معمول برای این‌گونه سرریزاها و دریچه‌ها در حالت ترکیبی می‌تواند خطای بزرگی را ایجاد نماید. فرو (2000) با استفاده از تحلیل ابعادی بر اساس انگاره‌ی پی باکینگهام و شبیه ISS یک رابطه‌ی بدھ - مقیاس را برای جريان همزمان از رو و زیر دریچه‌ی قائم لبه‌پهن به دست آورد. وی در معادله‌ی K استخراج شده نشان داد که فراسنج بدون بعد a (K/a) عمق بحرانی متناظر با مقدار مشخصی بدھ و a ارتفاع بازشدگی دریچه‌ی) با فراسنج بدون بعد Hw / a (Hw بار آبی آب روی سازه) رابطه‌ی مستقیم دارد. نجم و همکاران (2002) معادلاتی را برای جريان ترکیبی در حالت آزاد برای سرریز - دریچه‌ی مستطیلی با فشردگی برابر ارائه نموده و به این نتیجه رسیدند که ضریب بدھی

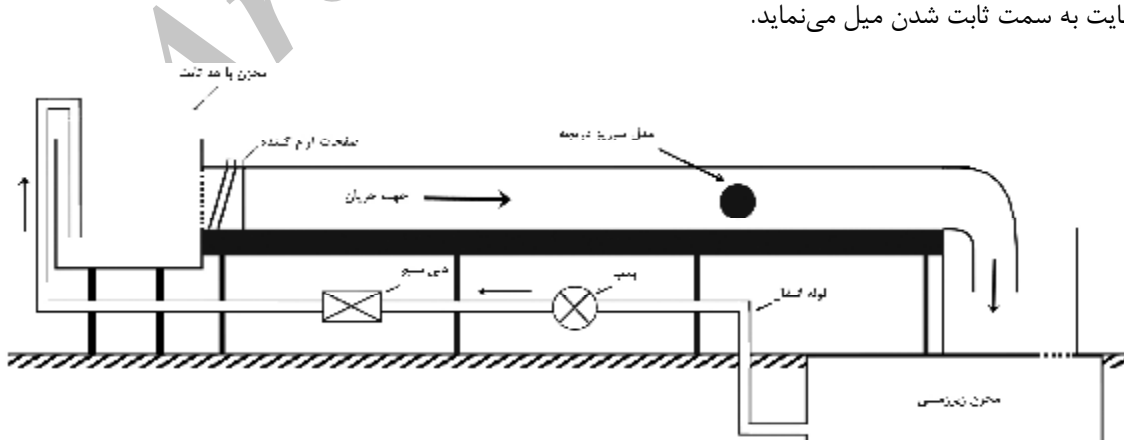
در این تحقیق ابتدا به بررسی تغییرات ضریب بددهی سرریز- دریچه‌ی استوانه‌ای با فراسنجهای آبی و هندسی پرداخته شده است، سپس با جداسازی بددهی سرریز و دریچه‌ی بوسیله برداشتن نیم‌رخ سرعت در زیر و روی سازه، اندازه‌ی ضریب بددهی محاسبه، روند تغییرات آن استخراج، و با روند تغییرات ضریب بددهی شبیه ترکیبی سرریز- دریچه مقایسه گردیده است.

مواد و روشها

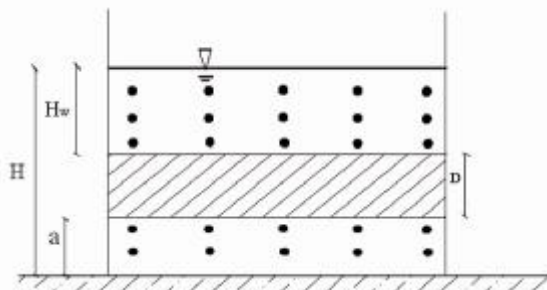
آزمایش‌های این تحقیق در آزمایشگاه هیدرولیک بخش عمران دانشگاه بوخوم آلمان در نهر پایه‌داری به طول 10 و عرض 0/6 متر در محدوده بددهی 30- 200 لیتر بر ثانیه با استفاده از لوله‌های پی وی سی با قطرهایی در محدوده 110- 250 میلی‌متر به عنوان شبیه سرریز- دریچه انجام شد. شکل (1) دوره‌ی بسته جریان و سرریز- دریچه‌ی استوانه‌ای را نشان می‌دهد.

ارتفاع آب روی سرریز و درون نهر پایه‌دار در بالادست شبیه سرریز- دریچه با استفاده از عمق سنج با دقت 0/1 میلی‌متر تعیین گردید. همچنین، بددهی ورودی به نهر پایه‌دار با برداشت نیم‌رخ سرعت روی سرریز و زیر دریچه‌ی به ترتیب با استفاده از سرعت سنج مغناطیسی با دقت 0/01 متر بر ثانیه، و لوله پیتوت با خطای 0/1 میلی‌متر اندازه‌گیری شد. گفتنی است که محدوده فراسنج بی‌بعد H/a از 3-16 متغیر می‌باشد. شکل (2) نقاط مختلف برداشت سرعت روی سرریز و زیر دریچه‌ی در شبیه ترکیبی را به صورت طرح‌واره نشان می‌دهد.

بالادست جریان به قطر سازه) و H/a (نسبت عمق بالادست جریان به بازشدنی دریچه) ثابت، ضریب بددهی سرریز - دریچه نیم استوانه‌ای با انحنا رو به پایین دست بیشتر از ضریب بدده سرریز- دریچه‌ی نیم استوانه‌ای با انحنا به سمت بالادست است. اسماعیلی (1390) با جداسازی جریان سرریز از دریچه‌ی در شبیه ترکیبی سرریز- دریچه‌ی لبه تیز، و بررسی خصوصیات جریان در این شبیه نتیجه گرفت که با افزایش فراسنج بی بعد H/D ضریب بددهی دریچه‌ی، سرریز و سرریز- دریچه افزایش می‌باید. قره‌گزلو و همکاران (1391) به بررسی آزمایشگاهی ضریب بددهی شبیه ترکیبی سرریز - دریچه استوانه‌ای و نیم استوانه‌ای در نهرهای کوچک پرداختند و نتیجه گرفتند در یک H/D ثابت، ضریب بددهی استوانه کامل تقریباً برابر با ضریب بددهی نیم استوانه با انحنا در بالادست و حدود 12 درصد بیشتر از ضریب بددهی نیم استوانه با انحنا در پایین دست است. مسعودیان و قره‌گزلو (2012)، با بررسی خصوصیات جریان روی سرریزهای استوانه‌ای (سرریز بدون دریچه) در نهرهای کوچک نتیجه گرفتند ضریب بدده با افزایش فراسنج بی بعد R/Hw (بار آبی روی سرریز به شعاع سرریز) افزایش می‌باید. همچنین، تحقیقات مسعودیان و همکاران (2012) در مورد تاثیر فراسنجهای آبی و هندسی برای ضریب بددهی دریچه‌های استوانه‌ای در حالت استفاده جدگانه (دریچه‌ی بدون سرریز) نشان دادند که با افزایش فراسنجهای بی بعد H/a و H/D ضریب بدده ابتدا با شیب زیاد سپس با شیب ملایمتری افزایش یافته، و در نهایت به سمت ثابت شدن می‌نماید.



شکل(1) شکل و اجزای نهر پایه‌دار آزمایشگاهی مورد استفاده.



شکل(2) نمایش شبکه بندی مقطع عبور جریان روی سرریز و زیر دریچه.

$$Q = \iint_A V dA = \sum_{i=1}^m \sum_{j=1}^n V_{ij} A_{ij} \quad (4)$$

که در رابطه‌ی فوق:

 V : اندازه‌ی سرعت جریان در بنپار dA

n : معرف تعداد نقاط برداشت سرعت روی سرریز یا زیر دریچه‌ی در جهت عرض نهر پایه‌دار برابر با 12 نقطه
 m : معرف تعداد نقاط برداشت شده سرعت در راستای ارتفاعی می‌باشد. برای سرریز بر اساس اندازه‌ی عمق آب روی سرریز راستای ارتفاعی به فاصله‌های مساوی یک سانتی‌متری و برای دریچه‌ی، زیر دریچه‌ی بر اساس اندازه‌ی باز شدگی به فاصله‌های مساوی تقسیم شد.

نتایج و بحث

در این بخش پس از پالایش داده‌ها، ضریب بدنه هر سه حالت دریچه‌ی، سرریز و سرریز-دریچه‌ی به ترتیب از روابط 2.1 و 3 محاسبه شده و در برابر فراسنجهای بی بعد H/a و H/D ترسیم، مقایسه و بحث گردید.
 بررسی شکل‌های (3) تا (7) بیانگر آن است که با افزایش فراسنجهای بی بعد H/a و H/D ضریب بدنه برای قطر 110 میلی‌متر افزایش یافته، ولی زمانی که قطر سازه بیشتر می‌گردد، روند تغییرات ضریب بدنه را می‌توان در دو ناحیه‌ی متفاوت دسته‌بندی کرد: در ناحیه‌ی اول، که مربوط به H/a و H/D های پایین بوده، برای قطر 160 میلی‌متر ضریب بدنه تقریباً ثابت، و برای دو قطر 200 و 250 میلی‌متر روند کاهشی دارد؛ ولی در ناحیه‌ی دوم، برای سه قطر 160, 200 و 250 میلی‌متر همانند قطر 110 میلی‌متر با افزایش هر دو فراسنج بی بعد H/a و H/D ضریب بدنه روند افزایشی دارد. این در حالی است که نتایج محققان پیشین، از جمله نجم و همکاران (2002) برای

مبانی نظری

رابطه‌ی بدنه عبوری از دریچه‌ی به صورت زیر می‌باشد (حسینی و ابریشمی، 1382):

$$Q_g = C_{dg} ab \sqrt{2gH} \quad (1)$$

که در آن رابطه‌ی Q_g بدنه عبوری از زیر دریچه‌ی، C_{dg} ضریب آبگذری دریچه‌ی، a اندازه‌ی بازشدنی دریچه‌ی، b عرض نهر، H عمق جریان در بالادست دریچه‌ی و g شتاب ثقل است.

بوس (1976) رابطه‌ی بدنه را در سرریزهای استوانه‌ای به صورت زیر پیشنهاد نمود:

$$Q_w = C_{dw} \frac{2}{3} \sqrt{\frac{2}{3}} g H_w^{1.5} \quad (2)$$

که در آن Q_w بدنه عبوری از سرریز استوانه‌ای، H_w ارتفاع آب روی سرریز و C_{dw} ضریب آبگذری سرریز است. اندازه‌ی ضریب بدنه سازه ترکیبی سرریز-دریچه‌ی به صورت زیر می‌باشد:

$$C_d = \frac{Q_s}{ab \sqrt{2gH} + \frac{2}{3} b \sqrt{\frac{2}{3}} g H_w^{1.5}} \quad (3)$$

که در آن Q_s و C_d به ترتیب بدنه عبوری از شبیه ترکیبی و ضریب بدنه شبیه ترکیبی می‌باشند. که Q_s مجموع بدنه عبوری از روی سرریز و زیر دریچه‌ی است که از رابطه‌ی زیر بر اساس نیمرخهای برداشت شده به دست آمد:

شیب آن به تدریج کم می‌شود، که ناشی از کاهش رشد ضریب بدهی سرریز و دریچه می‌باشد. همچنین، مقایسه‌ی سه شکل نشان می‌دهد که در یک H/a ثابت، با افزایش بازشدنگی دریچه اختلاف ضریب بدهی سرریز - دریچه با ضریب بدهی سرریز زیاد، و با ضریب بدهی دریچه کم می‌شود. دلیل این موضوع این گونه بیان می‌گردد که با افزایش بازشدنگی در شبیه سرریز- دریچه، سهم بدهی عبوری از دریچه بیشتر از سهم بدهی عبوری از سرریز شده، و در نتیجه ضریب بدهی سرریز- دریچه به ضریب بدهی دریچه نزدیکتر می‌گردد.

بررسی شکلهای (7)، (11) و (12) نشان می‌دهد که در یک H/a (نسبت عمق بالا دست به بازشدنگی دریچه) ثابت، با افزایش قطر سازه (ارتفاع سازه) ضریب بدهی دریچه‌ی در شبیه ترکیبی سرریز- دریچه افزایش، و در سرریز و سرریز- دریچه (قسمتی از نمودار که ضریب بدھ دارای روند افزایشی می‌باشد) در شبیه ترکیبی در یک H/a ثابت، با افزایش قطر ضریب بدھ کاهش می‌یابد. می‌توان این گونه تحلیل نمود که برای دریچه در یک H/a ثابت، با افزایش قطر سازه، شعاع انحنای خطوط جریان افزایش یافته، در نتیجه از اندازه‌ی افت ورودی کاسته شده، و ضریب بدھ افزایش می‌یابد؛ ولی در مورد سرریز و سرریز- دریچه در یک H/a ثابت، با افزایش قطر سازه (ارتفاع سازه) از میزان بار آبی روی سرریز کاسته شده، و در نتیجه (با توجه به این موضوع که ضریب بدهی سرریز استوانه‌ای در بارهای آبی پایین کم می‌باشد) ضریب بدهی سرریز و سرریز- دریچه کاهش می‌یابد.

شکلهای (3) تا (6)، (13) و (14) تاثیر افزایش بازشدنگی را بر میزان ضریب بدهی هر یک از سه سازه سرریز، دریچه و سرریز- دریچه در شبیه ترکیبی نشان می‌دهد. با توجه به این شکلهای، برای هر سه سازه دو ناحیه‌ی متفاوت را می‌توان در نظر گرفت (ناحیه‌ی اول مربوط به H/D های کم، و ناحیه‌ی دوم مربوط به H/D های زیاد). در ناحیه‌ی اول در یک H/D ثابت، با افزایش بازشدنگی دریچه، ضریب بدهی دریچه و سرریز- دریچه افزایش یافته، ولی ضریب بدهی سرریز کاهش می‌یابد؛ از طرفی دیگر، در ناحیه‌ی دوم، در یک H/D ثابت، با افزایش

سایر سرریز- دریچه‌ها (مثلثی، مستطیلی، لبه تیز و...) نشان می‌دهد، با افزایش فراسنجهای بی بعد فوق، ضریب بده افزایشی می‌باشد. می‌توان این گونه تحلیل نمود که در شبیه سرریز- دریچه استوانه‌ای در H/a و H/D های پایین، تیغه جریان از روی سرریز به زیر استوانه کشیده می‌شود، که این خلاف جهت جریان عبوری از دریچه است. بنابراین، روی جریان دریچه‌ی یک فشار مثبت ایجاد می‌شود، که سبب کاهش ضریب بده می‌گردد، ولی با افزایش H/a و H/D ، اندازه‌ی عمق و سرعت آب روی سرریز بیشتر شده و تیغه‌ی جریان کمتر وارد زیر استوانه می‌گردد؛ در نتیجه، جهت جریان ریزشی از سرریز هنگام برخورد با جریان عبوری از دریچه‌ی همسو، و این سبب افزایش ضریب بدهی شبیه ترکیبی می‌شود. نکته‌ی دیگری که می‌توان به آن اشاره نمود این است که در ناحیه‌ی اول، افزایش قطر سبب تشدید کاهش ضریب بده گشته، که این ناشی از افزایش مسیر پیمایش جریان سرریز در خلاف جهت در زیر دریچه می‌باشد.

با توجه به شکلهای (8) تا (10)، که تغییرات ضریب بدهی سه سازه سرریز، دریچه‌ی و سرریز- دریچه‌ی را در برابر فراسنج بی بعد a (نسبت عمق بالا دست به بازشدنگی دریچه‌ی) را در سه بازشدنگی مختلف 22، 44 و 66 میلی‌متر را برای قطر 160 نشان می‌دهند، می‌توان گفت که در هر سه بازشدنگی دریچه‌ی، ضریب بدهی دریچه در شبیه ترکیبی سرریز- دریچه (دریچه همراه با سرریز) با افزایش a/H ، کاهش می‌یابد. در صورتی که قره‌گزلو و همکاران (1390) در تحقیقات خود نشان دادند روند تغییرات ضریب بدهی دریچه‌های استوانه‌ای بدون سرریز با افزایش فراسنج H/a ، عکس این حالت بوده و روند افزایشی دارد. علت این موضوع را این گونه می‌توان تحلیل نمود که جریان عبوری از دریچه، به علت برخورد با جریان ریزشی از سرریز با یک مقاومت مواجه گشته، و از طرفی دیگر با افزایش عمق آب بالا دست و در نتیجه افزایش بدهی عبوری از شبیه ترکیبی، عمق آب در پایین دست سازه افزایش یافته، و دریچه‌ی حالت مستغرق به خود گرفته، و از میزان ضریب بدهی کاسته می‌گردد. ضریب بدهی سرریز ابتدا روند صعودی داشته و نهایتاً ثابت می‌گردد. در شبیه ترکیبی سرریز- دریچه با افزایش a/H ، ضریب بده افزایش یافته، و

اولاً، ضریب بددهی سرریز - دریچه استوانه‌ای در نهرهای بزرگ بیشتر از نهرهای کوچک بوده؛ ثانیاً، محدوده‌ی تغییرات ضریب بدده در نهرهای کوچک نسبت به نهرهای بزرگ بیشتر می‌باشد. دلیل این امر را می‌توان در نیمرخ توزیع سرعت لایه‌ی مرزی جستجو کرد. در واقع، تأثیر لزجت، کشش سطحی و جدارهای نهر بر جریان عبوری در نهرهای کوچک و بددهای کم، زیاد شده و سبب کاهش زیادی در C_d جریان می‌شود. لذا نیاز است تا در بررسیهای آینده این موضوع به تفصیل بررسی گردد.

نتیجه‌گیری

نتایج نشان می‌دهند که ضریب بدده با افزایش فراسنجهای بی‌بعد H/a و H/D در بددهای کم، به علت ورود جریان سرریز به زیر دریچه، روند کاهشی داشته، سپس با افزایش بدده، به علت همسو شدن جریان عبوری از روی سرریز با جریان دریچه، ضریب بدده افزایش می‌یابد. همچنین، در شبیه ترکیبی سرریز - دریچه روند تغییرات ضریب بددهی سرریز با افزایش فراسنجهای بی‌بعد H/a و H/D ابتدا افزایشی بوده، سپس به سمت ثابت شدن میل می‌نماید؛ در حالی که برای دریچه روند تغییرات به صورت کاهشی است، و در یک H/a ثابت، با افزایش قطر سازه، ضریب بددهی سرریز و سرریز - دریچه کاهشی، و ضریب بددهی دریچه افزایشی می‌باشد. برای بددهای کم در یک H/D ثابت، با افزایش بازشده‌ی ضریب بددهی دریچه و سرریز - دریچه افزایش یافته، و ضریب بددهی سرریز کاهش می‌یابد؛ در حالی که در بددهای زیاد، با افزایش بازشده‌ی ضریب بددهی دریچه و سرریز - دریچه کاهش یافته، و ضریب بددهی سرریز تقریباً ثابت می‌گردد.

بازشده‌ی دریچه، ضریب بددهی دریچه‌ی و سرریز - دریچه کاهش یافته، و ضریب بددهی سرریز تقریباً ثابت می‌گردد. با استفاده از نرم افزار Excel Solver رابطه‌ای جهت تعیین ضریب بدده در سرریز - دریچه استوانه‌ای به صورت رابطه‌ی (5) ارائه شده است. این رابطه از طریق بهینه‌سازی و براساس وایازی غیرخطی به دست آمد. برای صحت‌سنگی از 20 درصد دادها جهت تعیین ضریب بدده صرف‌نظر گردید، و معادله بر اساس 80 درصد باقیمانده به دست آمد، سپس با 20 درصد صرف‌نظر شده صحت سنگی شد.

$$C_d = 0.554 (H/a)^{0.156} (H/D)^{0.262} \quad (5)$$

$$R^2 = 0.82, \text{Error} = 2.6\%$$

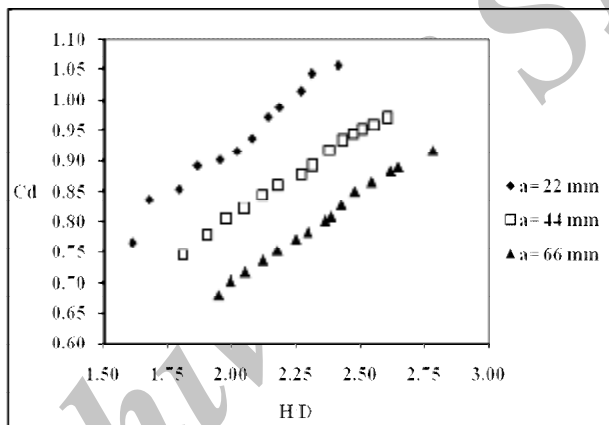
رابطه‌ی (5) نشان می‌دهند که ضریب بدده به فراسنج بی‌بعد H/D ، حساسیت بیشتری نسبت به H/a داشته که علت آن بیشتر بودن توان H/D می‌باشد.

مقایسه نتایج با دستاوردهای دیگر پژوهشگران

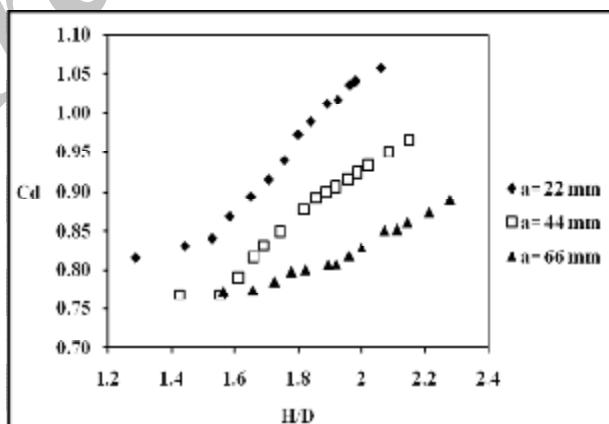
جدول (1) نشان می‌دهد که ضریب بددهی سرریز - دریچه استوانه‌ای بیشتر از ضریب بددهی سایر شبیه‌های ترکیبی سرریز - دریچه می‌باشد. می‌توان این گونه بیان نمود که در سازه‌های استوانه‌ای، به دلیل انحنای خطوط جریان، افت ورودی کمتر بوده، و همچنین، به علت چسبیدن جریان به بدنه‌ی سازه، مکش بیشتر شده، و ضریب بدده افزایش می‌یابد. همچنین، مقایسه‌ی تحقیق حاضر با مطالعات قره‌گزلو و همکاران (1391)، که به بررسی ضریب بددهی سرریز - دریچه استوانه‌ای و نیم استوانه‌ای در نهرهای کوچک پرداختند، نشان می‌دهد که

جدول (1) مقایسه‌ی محدوده‌ی ضریب بدهی به دست آمده در تحقیق حاضر با نتایج دیگر پژوهشگران

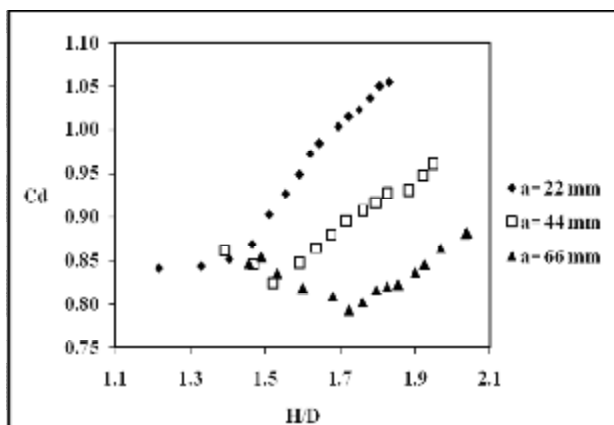
نتیجه	محدوده آزمایش	موضوع	پژوهشگر
محدوده‌ی ضریب بدهی: $0.55 < C_d < 0.61$	$3 < H/a < 7$ $2 < b/a < 4.5$ $1.5 < y/a < 2.67$	بررسی جریان ترکیبی از روى سرریز مستطیلی با فشردگی جانبی و زیر دریچه‌ی مستطیلی بدون فشردگی و لبه‌ی تیز	رضویان و حیدرپور، 1386
محدوده‌ی ضریب بدهی: $0.51 < C_d < 0.68$	$2.5 < H/a < 7.6$ $0.647 < b/a < 5$ $0.473 < y/a < 4$	بررسی جریان ترکیبی سرریز مستطیلی با فشردگی جانبی و دریچه‌ی مستطیلی با فشردگی جانبی	نجم و همکاران، 2002
محدوده‌ی ضریب بدهی: $0.38 < C_d < 0.96$	$5.5 < H/a < 13$	بررسی ضریب بدهی جریان سرریز - دریچه استوانه‌ای و سرریز - دریچه‌ی نیمه‌استوانه‌ای در نهرهای کوچک	قره‌گلو و همکاران، 1391
محدوده‌ی ضریب بدهی: $0.75 < C_d < 1.05$	$3 < H/a < 16$	بررسی ضریب بدهی جریان سرریز - دریچه استوانه‌ای	تحقیق حاضر



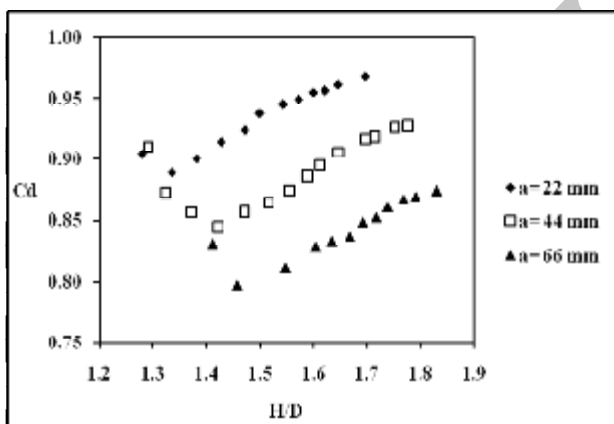
شکل (3) تغییرات ضریب بدهی در برابر فراستنج بی بعد H/D برای قطر 110 میلی‌متر.



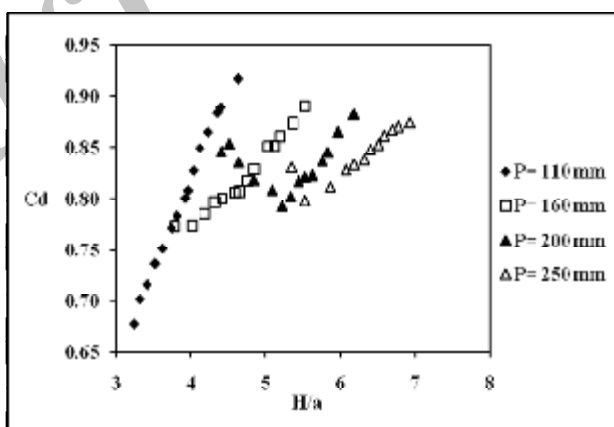
شکل (4) تغییرات ضریب بدهی در برابر فراستنج بی بعد H/D برای قطر 160 میلی‌متر.



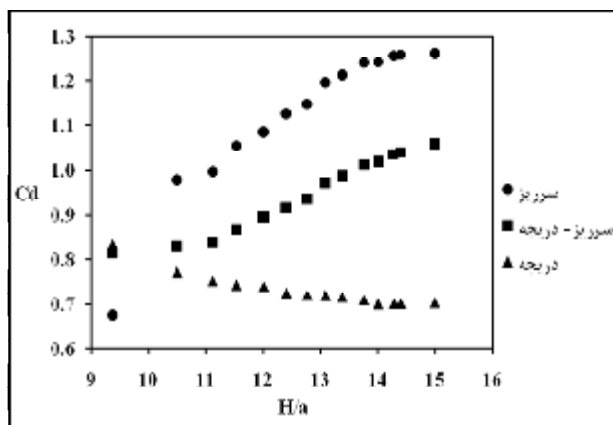
شکل(5) تغییرات ضریب بدء در برابر فراسنج بی بعد H/D برای قطر 200 میلی‌متر.



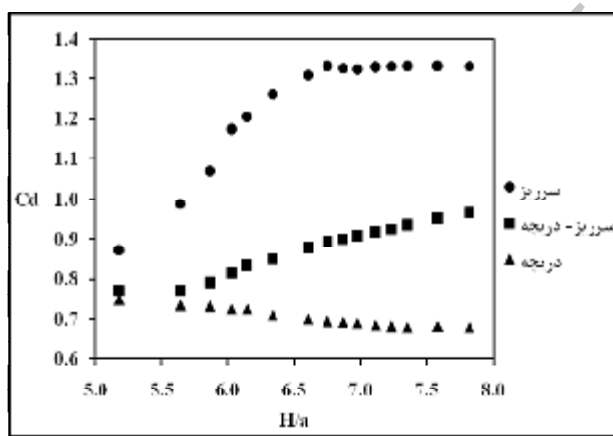
شکل(6) تغییرات ضریب بدء در برابر فراسنج بی بعد H/D برای قطر 250 میلی‌متر.



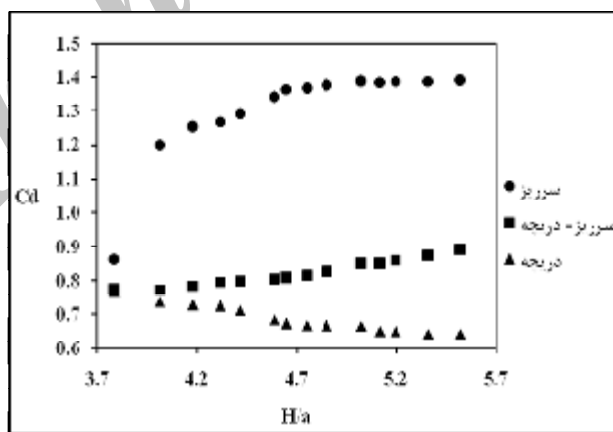
شکل(7) تغییرات ضریب بدء در برابر فراسنج بی بعد H/a برای بازشدگی 66 میلی‌متر.



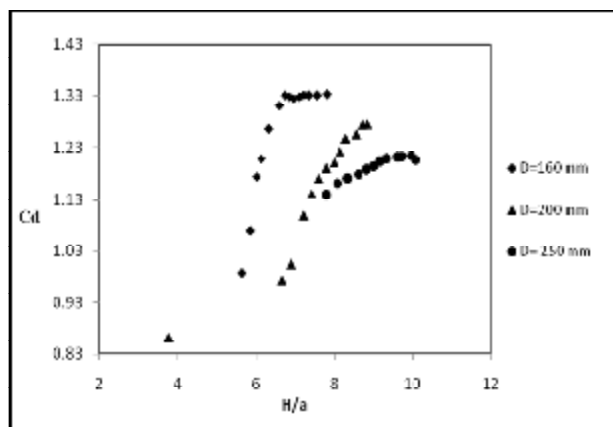
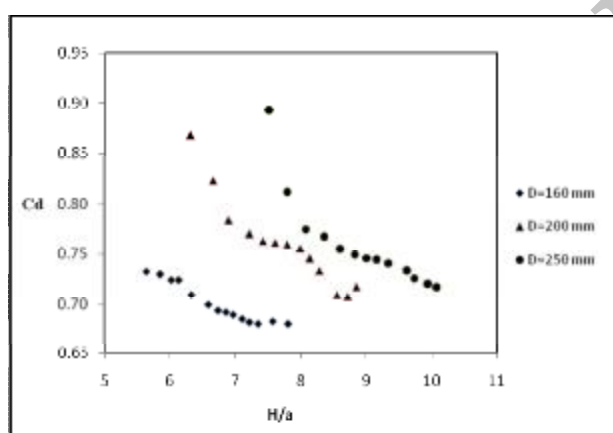
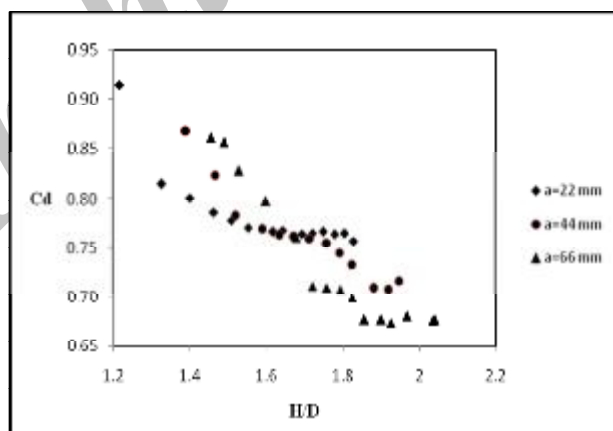
شکل (8) تغییرات ضریب بده در برابر فراسنجه بی بعد H/a برای قطر 160 میلی‌متر در بازشدگی 22 میلی‌متر.

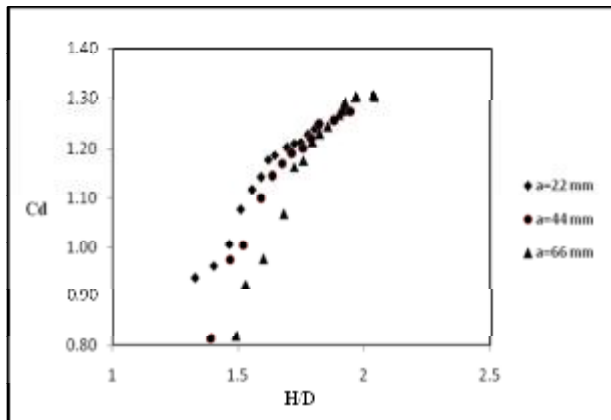


شکل (9) تغییرات ضریب بده در برابر فراسنجه بی بعد H/a برای قطر 160 میلی‌متر در بازشدگی 44 میلی‌متر.



شکل (10) تغییرات ضریب بده در برابر فراسنجه بی بعد H/a برای قطر 160 میلی‌متر در بازشدگی 66 میلی‌متر.

شکل (11) تغییرات ضریب بدهی سرربز در برابر فراسنجد بی بعد H/a .شکل (12) تغییرات ضریب بدهی دریچه در برابر فراسنجد بی بعد H/a .شکل (13) تغییرات ضریب بدهی دریچه در برابر فراسنجد بی بعد H/D .



شکل (14) تغییرات ضریب بدنه سرریز در برابر فراستنج بی بعد

استوانه‌ای در نهرهای کوچک. مجله پژوهش‌های آب و خاک گرگان. 7. مسعودیان، م.، قره‌گزلو، ف. نادری، و ن. فندرسکی. 1390. هیدرولیک جریان مستغرق در شبیه ترکیبی سرریز- دریچه‌ی نیم استوانه‌ای. پنجمین کنفرانس سراسری آبخیزداری و مدیریت منابع آب و خاک کشور، دانشگاه شهید باهنر کرمان، کرمان، ایران.

8. Bos, M.G. 1976. Discharge measurement structures. International Institute for Land Reclamation and Implement. LIRI Wageningen. The Netherlands. 4: 107- 126.
9. Ferro, V. 2000. Simultaneous flow over and under gate. J. Irrig. Drain. Div. 126:190-193.
10. Hayawi, H.A.M., A.A.G. Yahia, and G.A.M. Hayawi. 2008. Free combined flow over a triangular weir and under rectangular gate. Damascus University Journal. 24: 9-22.
11. Negm, A.M., A.A. El-Saiad, A.A. Alhamid, and D. Husain. 1994. Characteristics of simultaneous flow over weirs and below inverted V-notches gate. Civil Eng. Res. Magazine (CERM). Civil Eng. Dept. Faculty of Eng. Al-Azhar Univ. Cairo, Egypt. 16:786-799.
12. Negm, A.M., A.A. El-Saiad, and O.K. Saleh. 1997. Characteristics of combined flow over weirs and below submerged gates. Proc. of Al-Mansoura Eng. 2nd Int. Conf. (MEIC'97). Faculty of Eng. Al-Mansoura University. Al-Mansoura, Egypt. 3b: 259-272.
13. Negm, A.M., A.M. Al-Brahim, and A.A. Alhamid. 2002. Combined free flow over

بدین وسیله از مساعدتهای مسؤولین آزمایشگاه هیدرولیک دانشگاه بوخوم آلمان به منظور فراهم کردن امکانات لازم جهت انجام آزمایش‌های قدردانی و تشرک می‌گردد.

منابع

1. اسماعیلی ک، 1390. مطالعه‌ی تغییرات هندسی مقطع اندازه‌گیری برصلاح الگوی جریان برای افزایش ضریب- تخلیه سامانه‌ی دو واپاپیشی جریان در مجاري روابز. مجله مهندسی آبیاری و آب. (2) 31: 81-87.
2. حسینی س، م، ابریشمی ج، 1382. هیدرولیک نهرهای باز. انتشارات آستان قدس رضوی مشهد. ایران: 218-238.
3. رضویان س.ح، حیدرپور، 1386. بررسی ضریب بدنه در شبیه ترکیبی سرریز-دریچه لبه‌تیز. ششمین کنفرانس هیدرولیک ایران. دانشگاه شهرکرد، ایران.
4. صفار، س، م. کاشفی پور، 1387. تخمین بدنه در شبیه سرریز - دریچه‌ی با استفاده از شبیه شبکه‌های عصبی. مجموعه مقالات دومین همایش ملی مدیریت شبکه‌های آبیاری و زهکشی، دانشگاه شهید چمران اهواز. ایران.
5. فیض‌الله، ف، م. قدسیان، و ا. دهقانی. 1385. بررسی آزمایشگاهی بر روی ضریب تخلیه جریان همزمان دریچه و سرریز جانبی در خم 180 درجه. مجموعه مقالات هفتمین سمینار بین‌المللی مهندسی رودخانه، دانشگاه شهید چمران اهواز، ایران.
6. قره‌گزلو، م، مسعودیان، س.ع. صالحی نیشابوری، ف. نادری، و ا. سوری، 1391. بررسی آزمایشگاهی ضریب بدنه شبیه ترکیبی سرریز- دریچه استوانه‌ای و نیم-

- weirs and below gates. *J. Hydraul. Res.* 40: 359-365.
14. Masoudian, M., and M. Gharahgezlou. 2012. Flow characteristics of cylindrical weirs in a small laboratory canal. *J. sci. Data Report.* 4:13-23.
 15. Masoudian, M., M. Gharahgezlou, and B. Haber. 2012. The impact of hydraulic and geometric parameters on the cylindrical gate discharge coefficient. *J. of Innova Scienza*, 4:32-39.
 16. Samani, J.M.V., and M. Mazaheri. 2009. Combined flow over weir and under gate. *J. Hydraul. Eng.* 135: 224-227.

Archive of SID